

DOI: 10.35681/1560-9189.2019.21.4.199392

УДК 550.34.01

**А. И. Брицкий, О. А. Токалин**

Институт проблем регистрации информации НАН Украины  
ул. Н. Шпака, 2, 03113 Киев, Украина  
e-mail: britsky\_ai@ukr.net, тел.: (044) 454-21-23

## **Применение мембранных датчиков в системах гидролокации с использованием цифровых лазерных интерферометров**

*Представлены результаты исследований по возможности применения мембранных датчиков для приема гидроакустических сигналов на инфрочастотах. Показана целесообразность применения цифровых лазерных интерферометров в системах гидролокации на инфрочастотах.*

**Ключевые слова:** цифровой лазерный интерферометр, мембранный датчик, частотные характеристики.

### **Введение**

При охране водных рубежей нашей страны важной является задача гидролокации подводных и надводных объектов на большой дальности. В настоящее время на вооружение Вооруженных Сил Украины принята радиогидроакустическая система «Ятрань», которая предназначена для обнаружения вражеских кораблей и подводных лодок [1]. Она предполагает установку системы гидроакустических буев, дальность действия которых составляет около 30 км и совместную обработку информации от них. Однако на удалении 300–400 км такая система обнаружение подводных объектов не обеспечивает. Для решения таких задач разработана и развернута система SOSUS (США), которая не обеспечивает обнаружение подводных лодок последнего поколения, а в РФ разворачивается аналогичная система нового поколения [2].

### **Анализ последних исследований и публикаций**

В доступных источниках информация о гидролокации подводных объектов на больших расстояниях с использованием инфрочастот практически отсутствует. На наш взгляд, большие перспективы практического применения при создании современных и перспективных гидроакустических средств поиска и обнаружения движущихся подводных объектов на больших дальностях по их шумоизлучению в диапазоне низких звуковых и инфразвуковых частот имеет цифровая лазерная ин-

© А. И. Брицкий, О. А. Токалин

терферометрия. Особенно важен поиск движущихся подводных объектов в диапазоне инфразвуковых частот, в том числе ниже 10 Гц, поскольку уровень шумов в звуковом диапазоне частот движущихся подводных объектов существенно снизился. В инфразвуковом диапазоне частот понизить шумоизлучение очень сложно или практически невозможно, поскольку источником (или резонатором) сигналов в инфрачастотной области могут быть, например, длинномерные корпуса гидрообъектов. Для построения гидроакустических систем регистрации инфразвуковых сигналов целесообразно использовать разработанные в ИПРИ НАН Украины цифровые интерферометры на основе полупроводниковых лазеров, которые имеют разрешение на уровне 1,6 нм, частотный диапазон от 0 Гц и могут использоваться для регистрации слабых колебаний на инфрачастотах [3]. При этом интересным является вариант установки подвижного уголкового отражателя на чувствительном элементе (ЧЭ) — металлическом диске (мембране) конечной толщины, который воспринимает гидроакустические сигналы. Для этого необходимо определить чувствительность и частотные свойства ЧЭ и оценить возможность его использования в гидролокации совместно с цифровым лазерным интерферометром, что и является целью настоящей статьи.

## Математическая модель чувствительного элемента

Основной характеристикой ЧЭ, как элемента системы регистрации инфразвука, является его передаточная функция, которая имеет смысл оператора, преобразующего внешнюю нагрузку на входе в нормальную реакцию на выходе. Согласно основам гидродинамики [4] звуковая волна в жидкости описывается потенциалом  $\phi(\vec{r}, t)$  или производными от него скаляром  $p = -\rho\dot{\phi}(\vec{r}, t)$  и вектором  $\vec{v} = \vec{\nabla}\phi(\vec{r}, t)$ , которые все удовлетворяют стандартному волновому уравнению. В качестве внешней нагрузки ЧЭ удобно выбрать скалярную величину — избыточное давление звуковой волны  $p = -\rho_*\dot{\phi}(\vec{r}, t)$ , где  $\rho_*$  — плотность жидкости. Соответственно на ЧЭ со стороны жидкости действует суммарное давление  $P_0 + p$ , где  $P_0$  — статическое давление жидкости на глубине погружения (точнее разница давления на диск с внешней и внутренней стороны). В качестве ЧЭ рассматриваем пластину в виде диска конечной толщины  $h$  с закрепленной границей. Реакцией ЧЭ на воздействие давления является изгиб диска. Его можно охарактеризовать отклонением  $Z(\vec{r}, t)$  нейтральной плоскости диска от ее исходного положения (с которым связана система координат), описываемое уравнением [5]:

$$D_z \Delta^2 Z(\vec{r}, t) + \rho h \ddot{Z}(\vec{r}, t) = P_0 + p(\vec{r}, t), \quad (1)$$

где точками обозначена производная по времени;  $D_z = Eh^3/12(1-\nu^2)$  — цилиндрическая жесткость диска;  $E$  — модуль Юнга;  $\nu$  — коэффициент Пуассона,  $\rho$  — плотность материала диска;  $\Delta$  — двумерный Лапласиан, который с учетом осевой симметрии модели сводится к одному радиальному члену:  $\Delta = r^{-1}(\partial/\partial r)r(\partial/\partial r)$ .

## Анализ модели и полученные результаты

Равновесный прогиб диска, погруженного на некоторую глубину, описывается исходным уравнением (1), если слева и справа от равенства исключить вторые (динамические) слагаемые. Общий интеграл уравнения равновесия [5]:

$$Z(r) = \frac{3(1-\nu^2)P_0}{16Eh^3}r^4 + Ar^2 + B + C \ln\left(\frac{r}{R}\right), \quad (2)$$

где  $R$  — радиус диска, причем из условий ограниченности нужно положить  $C = 0$ . Определяя константы  $A$  и  $B$  из граничных условий  $Z(R) = (\partial/\partial r)Z(R) = 0$ , получим

$$Z(r) = \frac{3}{16}(1-\nu^2)\frac{P_0R^4}{Eh^3}\left(1 - \frac{r^2}{R^2}\right) \quad (3)$$

с максимальным статическим прогибом в центре диска:  $Z_M = \frac{3}{16}(1-\nu^2)\left(\frac{R}{h}\right)^3\frac{P_0}{E}R$ , величина которого может быть учтена при настройке интерферометра. В частности, для стального диска с соотношением размеров  $R:h = 30:1$  на глубине  $H$  (м) величина максимального прогиба составляет  $0,00023H$  (в ед.  $R$ ), то есть на глубинах около 100 м она соответствует нескольким процентам от радиуса диска.

Для получения частотных характеристик передаточной функции ЧЭ будем считать волну синусоидальной и нормально падающей на плоскость диска  $p(\vec{r}, t) = p \sin \omega_0 t$  и воспользуемся преобразованием Фурье:

$$Z_\omega = \int_{-\infty}^{+\infty} dt e^{-i\omega t} Z(r, t) \Leftrightarrow (2\pi)^{-1} \int_{-\infty}^{+\infty} d\omega e^{i\omega t} Z_\omega = Z(r, t).$$

В результате уравнение (1) приводится к обыкновенному дифференциальному уравнению вида

$$\begin{aligned} D_z \left( \partial_r^4 + 2r^{-1} \partial_r^3 - r^{-2} \partial_r^2 + r^{-3} \partial_r \right) Z_\omega - \omega^2 \rho h Z_\omega = \\ = 2\pi P_0 \delta(\omega) + i\pi p \left[ \delta(\omega + \omega_0) - \delta(\omega - \omega_0) \right], \end{aligned} \quad (4)$$

где  $\delta(\omega)$  — дельта-функция, для сокращения записи под оператором  $\partial_r^k$  понимается  $k$ -я производная по  $r$  и учтено известное равенство [6]:

$$\delta(\omega) = (2\pi)^{-1} \int_{-\infty}^{+\infty} dt e^{\pm i\omega t}.$$

Умножая левую и правую части уравнения (4) на  $r^4 D_z^{-1}$  соответствующее однородное уравнение приводим к виду

$$\left[ (r\partial_r)^4 + 2(r\partial_r)^3 - (r\partial_r)^2 + r\partial_r \right] Z_\omega - (\kappa r)^4 Z_\omega = 0, \quad (5)$$

где

$$\kappa = \sqrt{\omega \sqrt{\frac{\rho h}{D_z}}} = \sqrt{2 \frac{\omega}{h} \sqrt{3(1-\nu^2)} \frac{\rho}{E}} = \sqrt{\omega \frac{k_v^2}{hc_l}} \quad (6)$$

имеет смысл модуля волнового вектора радиально направленных поперечных упругих волн;  $c_l$  — скорость продольных волн (скорость звука) в материале диска;  $k_v^2$  — коэффициент, зависящий только от  $\nu$ :  $k_v^2 = 2\sqrt{3}(1-\nu)(1-2\nu)^{-1/2}$ .

Общее решение однородного уравнения (5) имеет вид суперпозиции хорошо изученных цилиндрических функций [7, 8]:

$$\begin{aligned} Z_\omega &= C_1 J_0(\kappa r) + C_2 Y_0(\kappa r) + C_3^* J_0(i\kappa r) + C_4^* Y_0(i\kappa r) = \\ &= C_1 J_0(\kappa r) + C_2 Y_0(\kappa r) + C_3 I_0(\kappa r) + C_4 K_0(\kappa r). \end{aligned} \quad (7)$$

Вронскиан для этих функций вычисляется при помощи рекуррентных соотношений, отличен от нуля и не зависит от индексов:

$$W\{J_0, Y_0, I_0, K_0\} = 4W\{J, Y\}W\{I, K\} = 4 \frac{2}{\pi \kappa r} \cdot \frac{-1}{\kappa r} = \frac{-8}{\pi(\kappa r)^2} \neq 0. \quad (8)$$

Это позволяет найти общее решение неоднородного уравнения (4) стандартным образом при помощи системы уравнений относительно производных  $C'_m(z)$ ,  $m=1, 2, 3, 4$ :

$$\begin{cases} C'_1 J_0 + C'_2 Y_0 + C'_3 I_0 + C'_4 K_0 = 0 \\ C'_1 J'_0 + C'_2 Y'_0 + C'_3 I'_0 + C'_4 K'_0 = 0 \\ C'_1 J''_0 + C'_2 Y''_0 + C'_3 I''_0 + C'_4 K''_0 = 0 \\ C'_1 J'''_0 + C'_2 Y'''_0 + C'_3 I'''_0 + C'_4 K'''_0 = \Phi \end{cases}$$

при

$$\Phi = \pi \frac{(\kappa r)^4}{\rho h} \cdot \frac{2P_0 \delta(\omega) + ip[\delta(\omega + \omega_0) - \delta(\omega - \omega_0)]}{\omega^2}. \quad (9)$$

Из (9) следует:

$$\begin{aligned} C_1 &= \int dz \frac{2\Phi(z)W\{I, K\}}{W\{J, Y, I, K\}} = \int dz \frac{\Phi(z)Y_0(z)}{2W\{J, Y\}} = \int dz \frac{\pi z \Phi(z)Y_0(z)}{4}, \\ C_2 &= -\int dz \frac{2\Phi(z)J_0(z)W\{I, K\}}{W\{J, Y, I, K\}} = -\int dz \frac{\pi z \Phi(z)J_0(z)}{4}, \\ C_3 &= -\int dz \frac{2\Phi(z)K_0(z)W\{J, Y\}}{W\{J, Y, I, K\}} = -\int dz \frac{\Phi(z)K_0(z)}{2W\{I, K\}} = \int dz \frac{z\Phi(z)K_0(z)}{2}, \\ C_4 &= \int dz \frac{2\Phi(z)I_0(z)W\{J, Y\}}{W\{J, Y, I, K\}} = -\int dz \frac{z\Phi(z)I_0(z)}{2} \end{aligned} \quad (10)$$

при  $z = \kappa r$ .

Общий интеграл уравнения (4) с учетом ограниченности решения имеет вид

$$Z_\omega = C_{10}J_0(\kappa r) + C_{30}I_0(\kappa r) + \frac{1}{2} \int_0^{\kappa r} d\xi \xi \Phi(\xi) \left[ \frac{\pi}{2} J_0(\kappa r) Y_0(\xi) - \frac{\pi}{2} Y_0(\kappa r) J_0(\xi) + I_0(\kappa r) K_0(\xi) - K_0(\kappa r) I_0(\xi) \right], \quad (11)$$

в котором константы  $C_{10}$  и  $C_{30}$  определяются из граничных условий  $Z_\omega(\kappa R) = Z'_\omega(\kappa R) = 0$ :

$$C_{10} = \frac{1}{2} \int_0^{\kappa R} d\xi \xi \Phi(\xi) \left[ \frac{\pi}{2} \cdot \frac{W\{Y_0, I_0\}}{W\{J_0, I_0\}} J_0(\xi) + \frac{1}{\kappa R W\{J_0, I_0\}} I_0(\xi) - \frac{\pi}{2} Y_0(\xi) \right], \quad (12)$$

$$C_{30} = \frac{1}{2} \int_0^{\kappa R} d\xi \xi \Phi(\xi) \left[ \frac{1}{\kappa R W\{J_0, I_0\}} J_0(\xi) + \frac{W\{J_0, K_0\}}{W\{J_0, I_0\}} I_0(\xi) - K_0(\xi) \right],$$

где

$W\{J_0, I_0\} = J_0(\kappa R)I_1(\kappa R) + J_1(\kappa R)I_0(\kappa R)$ ,  $W\{Y_0, I_0\} = Y_0(\kappa R)I_1(\kappa R) + Y_1(\kappa R)I_0(\kappa R)$  и  $W\{J_0, K_0\} = -J_0(\kappa R)K_1(\kappa R) + J_1(\kappa R)K_0(\kappa R)$  — вронскианы, составленные из соответствующих функций на фиксированной границе диска.

Обратное преобразование Фурье выражения (11) с учетом (12) полностью определяет вынужденные колебания зафиксированного по границе диска, однако в данной постановке проблемы это является избыточным, так как практический интерес представляют только колебания его центральной области. Функции  $Y_0(\kappa r)$  и  $K_0(\kappa r)$  в нуле имеют логарифмические особенности, поэтому интеграл в (11), куда эти функции входят с множителем  $\xi^5$ , стремится к нулю, и сумма амплитуды колебаний центральной области диска и статического прогиба определяется суммой констант:

$$A_0 = C_{10} + C_{30} = \frac{1}{2} \int_0^{\kappa R} d\xi \xi \Phi(\xi) \left[ \frac{\pi \kappa R W\{Y_0, I_0\} + 1}{\kappa R W\{J_0, I_0\}} J_0(\xi) + \frac{\kappa R W\{J_0, K_0\} + 1}{\kappa R W\{J_0, I_0\}} I_0(\xi) - \frac{\pi}{2} Y_0(\xi) - K_0(\xi) \right]. \quad (13)$$

Находя входящие в (13) интегралы

$$\int_0^{\kappa R} d\xi \xi \xi^5 Z_0(\xi) = \kappa R (\kappa^2 R^2 - 8) \left[ (\kappa^2 R^2 - 8) Z_1(\kappa R) + 4\kappa R Z_0(\kappa R) \right],$$

где

$$Z_n(\kappa R) = J_n(\kappa R) \text{ или } = Y_n(\kappa R),$$

$$\int_0^{\kappa R} d\xi \xi^5 I_0(\xi) = \kappa R (\kappa^2 R^2 + 8) \left[ (\kappa^2 R^2 + 8) I_1(\kappa R) - 4\kappa R I_0(\kappa R) \right],$$

$$\int_0^{\kappa R} d\xi \xi^5 K_0(\xi) = -\kappa R (\kappa^2 R^2 + 8) \left[ (\kappa^2 R^2 + 8) K_1(\kappa R) + 4\kappa R K_0(\kappa R) \right],$$

получим

$$A_0 = \frac{P(\omega) R^2}{\omega \sqrt{\rho h D_z} W\{J_0, I_0\}} \left\{ \frac{(\kappa R)^4 + 64}{(\kappa R)^2} [J_1(\kappa R) + I_1(\kappa R)] + 4(\kappa R) [J_0(\kappa R) - I_0(\kappa R)] \right\} =$$

$$= (1 - \nu^2) \frac{12P(\omega) R^4}{Eh^3} \cdot \frac{[(\kappa R)^4 + 64] [J_1(\kappa R) + I_1(\kappa R)] + 4(\kappa R)^3 [J_0(\kappa R) - I_0(\kappa R)]}{(\kappa R)^4 W\{J_0, I_0\}}, \quad (14)$$

где

$$P(\omega) = 2\pi P_0 \delta(\omega) + i\pi p [\delta(\omega + \omega_0) - \delta(\omega - \omega_0)],$$

$$W\{J_0, I_0\} = J_0(\kappa R) I_1(\kappa R) + J_1(\kappa R) I_0(\kappa R).$$

На низких частотах  $\kappa R \ll 1$  (длина волны намного превышает габариты ЧЭ) функции Бесселя разлагаются в ряды

$$J_m(\kappa R) = \left(\frac{\kappa R}{2}\right)^m \sum_{k=0}^{\infty} \frac{(i\kappa R)^{2k}}{2^{2k} k!(k+m)!} \approx \frac{1}{m!} \left(\frac{\kappa R}{2}\right)^m \left[ 1 - \frac{(\kappa R)^2}{4(m+1)} + \frac{(\kappa R)^4}{16(m+1)(m+2)} - \dots \right],$$

$$I_m(\kappa R) = \left(\frac{\kappa R}{2}\right)^m \sum_{k=0}^{\infty} \frac{(\kappa R)^{2k}}{2^{2k} k!(k+m)!} \approx \frac{1}{m!} \left(\frac{\kappa R}{2}\right)^m \left[ 1 + \frac{(\kappa R)^2}{4(m+1)} + \frac{(\kappa R)^4}{16(m+1)(m+2)} + \dots \right],$$

поэтому ограничиваясь членами не выше второго порядка, получим:

$$A_0 \approx 12(1 - \nu^2) \frac{P(\omega)}{E} \left(\frac{R}{h}\right)^3 \left[ \frac{64}{(\kappa R)^4} + 2,01 \right] R. \quad (15)$$

Можно также заметить, что общий вид формул (14) и (15) имеет сходство с формулой для максимального статического прогиба диска, однако динамическая характеристика возрастает с ростом длины волны как  $\lambda^2$ .

Очевидно, что собственные частоты ЧЭ в виде закрепленного по краю диска определяются из уравнения:

$$W\{J, I\} = J_0(\kappa R) I_1(\kappa R) + J_1(\kappa R) I_0(\kappa R) = 0. \quad (16)$$

Рис. 1 иллюстрирует это уравнение, там же показан его первый корень. Корни уравнения (16)  $X_j$  связаны с собственными частотами при помощи соотношения:

$$f_j = \frac{hc_l}{2\pi R^2} \left(\frac{X_j}{k_v}\right)^2. \quad (17)$$

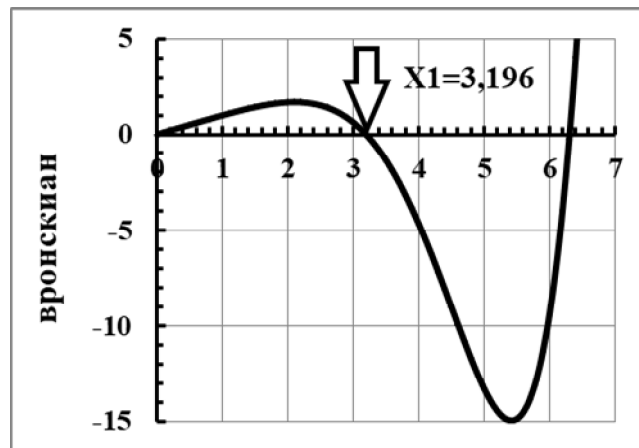


Рис. 1. Зависимость вронскиана  $W\{J, I\}$  от безразмерного аргумента  $x = \kappa R$

Заметим, что величину  $(\kappa R/X_1)^2$  можно рассматривать как универсальную частоту, нормированную на собственную частоту первой гармоники ЧЭ, то есть  $\omega/\omega_1 = (\kappa R/X_1)^2 = 0,09789 \cdot (\kappa R)^2$ . Анализ выражения (14) показывает, что частотная зависимость реакции ЧЭ на гармоническое воздействие инфразвука определяется только последним сомножителем, который имеет вид рациональной дроби. Результаты расчетов в виде зависимости этого частотно-зависимого коэффициента от нормированной универсальной частоты  $\omega/\omega_1 = 0,09789 \cdot (\kappa R)^2$  показаны на рис. 2.

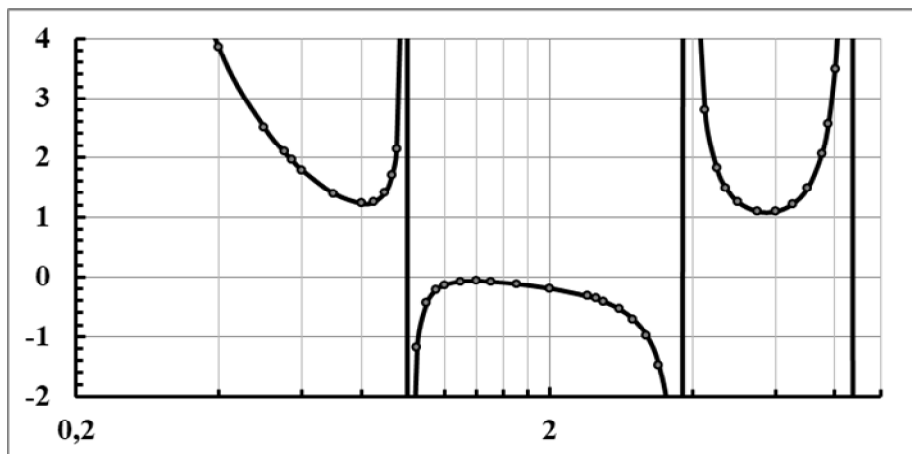


Рис. 2. Зависимость частотно-зависимого фактора от универсальной частоты  $\omega/\omega_1$ .

Представлена субрезонансная область частот и три первых резонанса

Как видно из представленной частотной зависимости, в области резонансов частотно-зависимый фактор меняет знак. Это соответствует скачку фазо-частотной характеристики в пределах  $\pm \pi/2$ . Величина реакции ЧЭ на гармоническое

воздействие минимальна в частотной области между первым и вторым резонансом. В субрезонансной области частот в соответствии с формулой (15) частотная зависимость реакции ЧЭ аппроксимируется степенной функцией  $\omega^{-2}$ . Эти особенности более ярко выражены на зависимости модуля частотно-зависимого фактора, показанной на рис. 3.

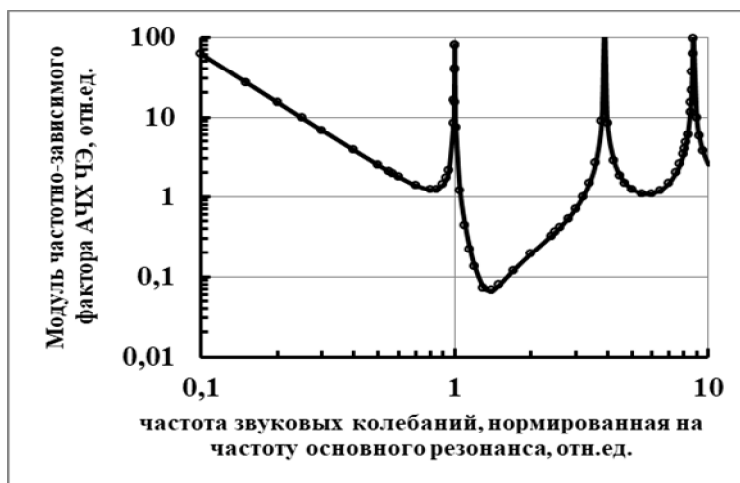


Рис. 3. Зависимость модуля частотно-зависимого фактора реакции ЧЭ на воздействие звуковых колебаний от частоты, нормированной по частоте основного (первого) резонанса, в логарифмическом масштабе

Как видно из хода кривой в субрезонансной области частот, аппроксимация степенной функцией  $\omega^{-2}$  (или  $\lambda^2$  для длины волны) применима уже на частотах менее  $2/3 \cdot \omega_1$ .

## Выводы

На основе теоретического анализа получена передаточная функция чувствительного элемента лазерной интерференционной системы регистрации инфразвуковых волн в водной среде в виде амплитуды колебаний в центральной части зафиксированного по окружности диска конечной толщины при гармоническом возбуждении. В области инфразвуковых частот ( $f \leq 15$  Гц) частотная зависимость амплитуды колебаний аппроксимируется степенной функцией с показателем  $-2$ , а ее величина значительно превышает амплитуды в области частот между резонансами. Реакция ЧЭ на гармоническое воздействие минимальна в частотной области между первым и вторым резонансами.

1. Радиогидроакустическая система «Ятрань» от «КНИИ гидроприборов» принята на вооружение ВСУ. Информационный портал Транспортный бизнес. URL: [http://tbu.com.ua/news/radiogidroakusticheskie\\_sistema\\_iatran\\_ot\\_knii\\_gidroprigorov\\_prianiata\\_na\\_voorujenie\\_vsu\\_.html](http://tbu.com.ua/news/radiogidroakusticheskie_sistema_iatran_ot_knii_gidroprigorov_prianiata_na_voorujenie_vsu_.html)

2. Котов М. Российский флот сделает себе СОСУС. URL: [https://life.ru/t/наука/880271/rossiiskii\\_flot\\_sdielaet\\_siebie\\_sosus](https://life.ru/t/наука/880271/rossiiskii_flot_sdielaet_siebie_sosus)



3. Britsky Oleksander I., Gorbov Ivan V., Petrov Viacheslav V., Balagura Iryna V. A compact semiconductor digital interferometer and its applications. Proc. SPIE 9506. Optical Sensors – 2015. 2015. Vol. 9506. 7 p. doi: 10.1117/12.2178476.

4. Ландау Л.Д., Лившиц Е.М. Гидродинамика. Теоретическая физика. Т. 6. Москва: Наука, 1986. 736 с.

5. Ландау Л.Д., Лившиц Е.М. Теория упругости. Теоретическая физика. Т. 7. Москва: Наука, 1987. 246 с.

6. Корн Г., Корн Т. Справочник по математике. Для научных работников и инженеров; пер. с англ./под общей ред. И.Г. Арамановича. Москва: Наука. 1974. 832 с.

7. Камке Э. Справочник по обыкновенным дифференциальным уравнениям. Москва: Наука, 1971. 589 с.

8. Справочник по специальным функциям с формулами, графиками и таблицами/под ред. М. Абрамовица и И. Стиган; пер. с англ./под ред. В.А. Диткина и Л.Н. Кармазинной. Москва: Наука, 1979. 832 с.

Поступила в редакцию 22.11.2019